

ПАРАМЕТРЫ КОЛЬЦЕВЫХ РЕЗОНАТОРОВ НА Н- И КРЕСТООБРАЗНЫХ ВОЛНОВОДАХ, ИЗОГНУТЫХ В ПЛОСКОСТИ Е

A. Ф. Зоркин, A. И. Терещенко

За последнее время в печати появилось несколько работ [1—5], посвященных равномерно-изогнутым в плоскости Е волноводам сложной формы поперечного сечения и кольцевым резонаторам на них.

В настоящей работе дается вывод формул для расчета собственной добротности Q_0 и отношения $\frac{R_0}{Q_0}$ (R_0 — активное сопротивление резонатора при резонансе) для кольцевых резонаторов на волноводах сложной формы поперечного сечения. Кроме того, описывается методика экспериментального определения величин Q_0 , $\frac{R_0}{Q_0}$, а также собственной частоты f_0 резонатора на основном виде колебания.

Формулы для расчета Q_0 и $\frac{R_0}{Q_0}$

Рассмотрим резонаторы на изогнутых в плоскости Е волноводах Н-образного (рис. 1, а) и крестообразного (рис. 1, б) поперечного сечения, симметричные относительно плоскости $z = a + b$.

Как известно [6, 7], собственная добротность Q_0 и отношение $\frac{R_0}{Q_0}$ определяются по формулам

$$Q_0 = \int_V (\mu |\vec{H}|^2 + \epsilon |\vec{E}|^2) dV / \int_S |\vec{H}_t|^2 dS; \quad (1)$$

$$\frac{R_0}{Q_0} = \frac{2 \left(\int_a^\delta \vec{E}_m dl \right)^2}{\omega_0 \int_V (\mu |\vec{H}|^2 + \epsilon |\vec{E}|^2) dV}, \quad (2)$$

где \vec{E}_m — амплитуда напряженности электрического поля на пути интегрирования между точками a и δ ;

δ — толщина скрип-слоя на частоте f_0 ;

μ_{ct} — магнитная проницаемость материала стенок резонатора.

¹ Как показано в работе [6], формулы для отношения $\frac{R_0}{Q_0}$ являются более точными, чем формулы для Q_0 и R_0 в отдельности, в силу того что отношение $\frac{R_0}{Q_0}$ не зависит от потерь.

Для определения Q_0 и $\frac{R_0}{Q_0}$ воспользуемся приближенными выражениями для полей основного вида [5]:

$$\begin{aligned} E_r^{(i)} &= -\frac{A}{r} \xi_i k \sin k(z - \zeta_i); \\ H_s^{(i)} &= i \frac{A}{r} \xi_i \omega_0 \varepsilon \cos k(z - \zeta_i), \end{aligned} \quad (3)$$

где индекс $i = 1, 2, 3$ — номер области (рис. 1 a, b), для которой записаны поля; значения ζ_i : $\zeta_1 = 0$, $\zeta_2 = a + b - \frac{\pi}{2k}$, $\zeta_3 = 2(a + b)$; а значения ξ_i :

$$\xi_2 = 1, \quad \xi_i = \frac{(-1)^{\frac{j-1}{2}} \ln \frac{R_2}{r_2} \cos ka}{\ln \frac{R_1}{r_1} \sin kb},$$

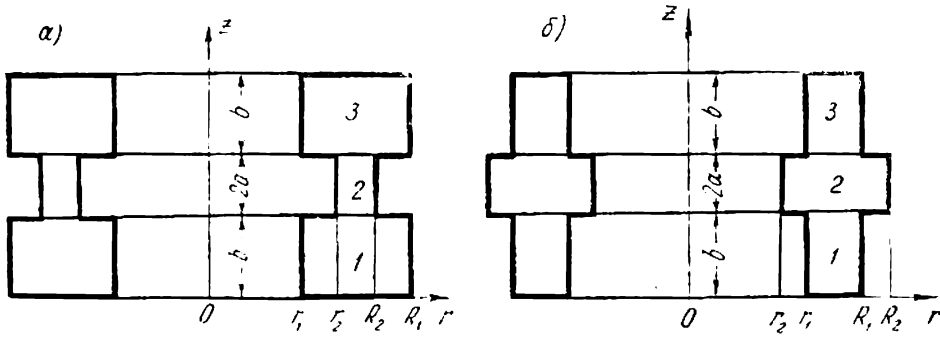


Рис. 1.

где $j = 1, 3$ — номер области. Очевидно, что в нашем случае $|\xi_1| = |\xi_3|$.

Величина k ($k = \omega_0 \sqrt{\varepsilon \mu}$) является минимальным корнем уравнений следующего вида [2, 4, 5]:

а) для резонатора на H -волноводе:

$$\begin{aligned} \operatorname{tg} ka &= \left(\frac{\ln \frac{R_2}{r_2}}{\ln \frac{R_1}{r_1}} \right) \left\{ \operatorname{ctg} kb + \right. \\ &\left. + 2k \sum_{m=1}^{\infty} \frac{(\operatorname{ctg} \mu_{0m}^{(1)} b) [u_0 (\alpha_{0m}^{(1)} R_2) - u_0 (\alpha_{0m}^{(1)} r_2)]^2 \ln \left(\frac{R_1}{r_1} \right)}{\mu_{0m}^{(1)} \{[R_1 u_0' (\alpha_{0m}^{(1)} R_1)]^2 - [r_1 u_0' (\alpha_{0m}^{(1)} r_1)]^2\} \left[\alpha_{0m}^{(1)} \ln \left(\frac{R_2}{r_2} \right) \right]^2} \right\}; \end{aligned} \quad (4)$$

б) для резонатора на крестообразном волноводе:

$$\begin{aligned} \operatorname{ctg} kb &= \left(\frac{\ln \frac{R_1}{r_1}}{\ln \frac{R_2}{r_2}} \right) \left\{ \operatorname{tg} ka + \right. \\ &\left. + 2k \sum_{m=1}^{\infty} \frac{(\operatorname{tg} \mu_{0m}^{(2)} a) [u_0 (\alpha_{0m}^{(2)} R_1) - u_0 (\alpha_{0m}^{(2)} r_1)]^2 \ln \left(\frac{R_2}{r_2} \right)}{\mu_{0m}^{(2)} \{[R_2 u_0' (\alpha_{0m}^{(2)} R_2)]^2 - [r_2 u_0' (\alpha_{0m}^{(2)} r_2)]^2\} \left[\alpha_{0m}^{(2)} \ln \left(\frac{R_1}{r_1} \right) \right]^2} \right\}. \end{aligned} \quad (5)$$

В этих формулах обозначено:

$$u_0(\alpha_{0m}^{(i)} r_i) = N_0(\alpha_{0m}^{(i)} r_i) J_0(\alpha_{0m}^{(i)} r_i) - J_0(\alpha_{0m}^{(i)} r_i) N_0(\alpha_{0m}^{(i)} r_i),$$

где $\alpha_{0m}^{(i)}$ определяется из уравнения

$$N_0(\alpha_{0m}^{(i)} r_i) J_0(\alpha_{0m}^{(i)} R_i) - J_0(\alpha_{0m}^{(i)} r_i) N_0(\alpha_{0m}^{(i)} R_i) = 0,$$

$$\mu_{0m}^{(i)} = \sqrt{k^2 - (\alpha_{0m}^{(i)})^2}, \quad m = 1, 2, 3, \dots$$

Подставив (3) в формулу (1) и выполнив интегрирование, получим

$$Q_0 = \frac{M}{iN}, \quad (6)$$

где

$$M = 2 \left[\xi_1^2 b \ln \left(\frac{R_1}{r_1} \right) + a \ln \left(\frac{R_2}{r_2} \right) \right],$$

$$N = \xi_1^2 \left[2 \ln \left(\frac{R_1}{r_1} \right) + b \left(1 + \frac{\sin 2kb}{2kb} \right) \frac{(R_1 + r_1)}{R_1 r_1} + \right.$$

$$\left. + a \left(1 - \frac{\sin 2ka}{2ka} \right) \frac{(R_2 + r_2)}{\xi_1^2 R_2 r_2} + 2 \cos^2 kb \left| \ln \left(\frac{R_1 r_2}{R_2 r_1} \right) \right| \right].$$

Найдем выражение для $\frac{R_0}{Q_0}$ относительно того сечения резонатора в котором электрическое поле E_r принимает максимальное значение. Таким сечением на основной резонансной частоте является сечение $z = a + b$. В этом случае криволинейный интеграл в (2) следует брать на интервале $[r_2, R_2]$. Подставив (3) в (2) и выполнив интегрирование, имеем

$$\frac{R_0}{Q_0} = \frac{\sqrt{\frac{\mu}{\epsilon}} \left[\ln \left(\frac{R_2}{r_2} \right) \right]^2}{\pi k M}. \quad (7)$$

Полученные формулы справедливы также для кольцевых резонаторов на Π - и T -волноводах, которые являются частным случаем H - и крестообразных волноводов. Так, например, кольцевой резонатор на Π -волноводе получается из резонатора на H -волноводе (рис. 1, а), у которого $r_1 = r_2 = r_3$ или $R_1 = R_2 = R_3$. Точно так же кольцевой резонатор на T -волноводе можно рассматривать, как резонатор на крестообразном волноводе (рис. 1, б), у которого $r_1 = r_2 = r_3$ или $R_1 = R_2 = R_3$.

»

Экспериментальное определение параметров резонаторов

Для экспериментальной проверки формул (4) — (7) были изготовлены из латуни ($\sigma_{30} \equiv 1,4 \cdot 10^7$ сим/м [8]) три кольцевых резонатора. Резонаторы № 1 (рис. 2, а) и № 3 (рис. 2, в) выполнены соответственно на Π - и T -волноводах, изогнутых в плоскости E так, что $r_1 = r_2 = r_3$; резонатор № 2 (рис. 2, б) выполнен на Π -волноводе таким образом, что $R_1 = R_2 = R_3$. Геометрические размеры резонаторов приведены в табл. 1, где $h = R_i - r_i$, $h_2 = R_2 - r_2$.

Все резонаторы сделаны разборными, так что крышка 1 (рис. 2 а, б, в) снимается и при сборке под нее можно положить кольцо 2 с зондом и гнездом для детектора 3.

Таблица 1

№ резонатора	Геометрические размеры, мм				
	r_1	$2a$	b	h_2	h
1	9,83	9,20	10,70	2,88	9,78
2	9,85	9,25	10,60	3,02	9,85
3	9,80	9,30	10,70	16,68	9,83

С помощью зонда можно зафиксировать момент резонанса по максимуму показаний индикаторного устройства, включенного в цепь детектора, а также определить периодичность поля по окружности резонатора, путем вращения кольца 2.

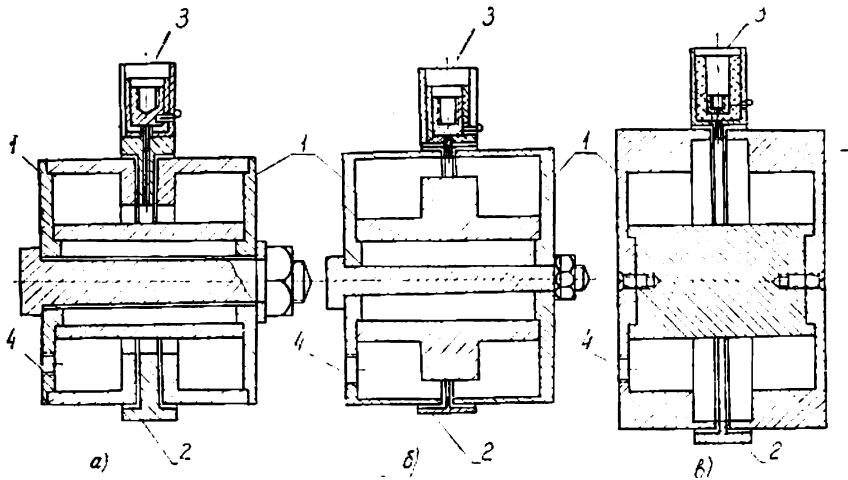


Рис. 2.

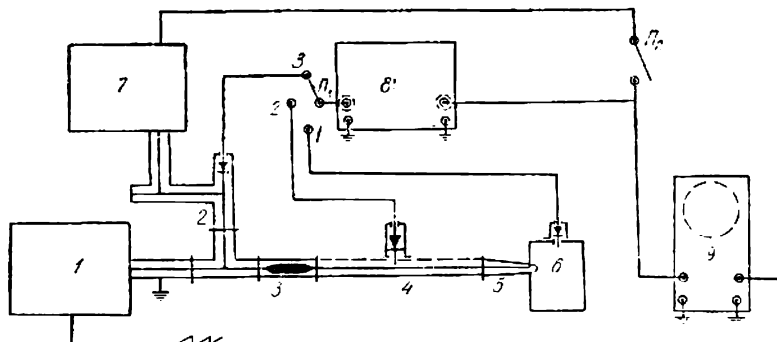


Рис. 3.

Для возбуждения резонаторов применен конусный коаксиальный переход, один конец которого соединен с отверстием 4 резонатора, а другой сделан в виде фишкки стандартного 50-омного коаксиального кабеля и может быть подключен непосредственно к коаксиальной измерительной линии.

Для измерения параметров кольцевых резонаторов была собрана установка, блок-схема которой приведена на рис. 3. Здесь 1 — генера-

4*

тор Г4-9 (или Г4-10А), 2 — смесительная головка, 3 — коаксиальный фиксированный аттенюатор на $10 \div 15$ дБ, 4 — коаксиальная измерительная линия ИКЛ-10, 5 — конусный коаксиальный возбудитель, 6 — исследуемый резонатор, 7 — волномер ВСТ-10П, 8 — измерительный усилитель 28ИМ, 9 — осциллограф ЭО-7.

Измерение резонансной частоты производилось двумя методами: проходным и «реактивным» [6].

При проходном методе высокочастотные колебания модулировались прямоугольными импульсами с соотношением полупериодов 1 : 1 при частоте следования 1000 гц, а момент резонанса отмечался по максимуму показаний индикаторного прибора 8 (P_1 находился в положении 1).

Основная резонансная частота определялась, как наименьшая резонансная частота, при которой нет вариации поля по окружности резонатора. Частота измерялась с помощью волномера ВСТ-10П (или ВСТ-6М).

При «реактивном» методе генератор модулировался пилообразным напряжением. Высокочастотная энергия, поступающая в смесительную головку 2, детектировалась, и сигнал низкой частоты (частоты модуляции) после усиления прибором 8 (P_1 в положении 3) подавался на вертикально отклоняющие пластины осциллографа 9, горизонтальная развертка которого осуществлялась тем же пилообразным напряжением, что и модуляция генератора. В результате на экране была видна область генерации кристалла. Так как на резонансной частоте полное сопротивление резонатора резко изменяется, то на кривой области генерации на этой частоте появлялся провал. Совместив его с «отсосом» от волномера 7, можно было измерить резонансную частоту.

Если связь волномера 7 с трактом оказывалась слабой, то использовался внутренний усилитель волномера (при этом P_2 включен). В этом случае «отсос» от волномера был виден достаточно хорошо.

Усредненные значения многократно измеренных резонансных частот резонаторов № 1 — № 3 приведены в табл. 2. Относительная погрешность измерения резонансных частот не превышает $\pm 1,0\%$. Для сравнения в табл. 2 даны значения резонансных частот, рассчитанных по формулам (4) и (5). Как видно из таблицы, расхождение между рассчитанными и экспериментальными значениями резонансных частот не превышает 1,3%. Это указывает на пригодность формул (4) и (5) для расчета резонансных частот.

Измерение собственной добротности Q_0 кольцевых резонаторов производилось методом коэффициента стоячей волны (КСВ) [6]. В этом случае высокочастотные колебания генератора 1 модулировались прямоугольными импульсами, измерительная коаксиальная линия 4 подключалась к усилителю 8 (P_1 в положении 2).

После установки частоты генератора, близкой к резонансной, снижался график зависимости КСВ от частоты и по минимуму КСВ определялась резонансная частота f_0 , а также находилась величина параметра связи β .

По известной величине минимального КСВ находилась величина КСВ, соответствующая уровню половинной мощности ($k_{0.5}$). Затем из графика зависимости КСВ от частоты по найденной величине $k_{0.5}$ определялась полоса частот Δf , собственная добротность находилась по формуле

$$Q_0 = \frac{(1 + \beta) f_0}{\Delta f}. \quad (8)$$

Расчетные и экспериментальные значения Q_0 занесены в табл. 2. Как видно из таблицы, расхождение между расчетными и экспериментальными значениями Q_0 весьма велико. Это объясняется тем, что формула (6) не учитывает потерь в контактах и на излучение (резонаторы сборной конструкции), которые во много раз больше омических потерь в стенках резонатора. По-видимому, можно ввести в формулу (6) некоторый коэффициент, постоянный для данного типа конструкции резонатора, и тогда формула может быть использована для инженерных расчетов собственной добротности.

Величина отношения $\frac{R_0}{Q_0}$ определялась методом возмущения [6]. В качестве возмущающих тел использовались станиловые кольца толщиной $l = 0,015 \text{ мм}$ с внутренним радиусом ρ . Они помещались в плоскости $z = a + b$ (рис. 4). В этом случае из теоремы возмущения Слэтера

$$\frac{\Delta f_0}{f_0} = \frac{\alpha \int_{\Delta V} (\epsilon |\vec{E}|^2 - \mu |\vec{H}|^2) d\tau}{\int_V (\epsilon |\vec{E}|^2 + \mu |\vec{H}|^2) dV},$$

после подстановки (3) и выполнения интегрирования с учетом малости величин l и $\Delta\rho = R_2 - \rho$ имеем

$$M = \frac{\left(\frac{\Delta\rho}{\Delta f_0}\right) \alpha l f_0}{2R_2}, \quad (9)$$

где $\Delta f_0 = f_0 - f$;

f_0 — резонансная частота невозмущенного резонатора;

α — постоянная, зависящая от формы возмущающего тела и от того, каким образом ΔV (возмущение объема) стремится к нулю.

В (9) можно положить $\alpha = 1$, если отношение определять как тангенс угла наклона касательной в той точке экспериментальной кривой $f = F(\rho)$, которая соответствует случаю невозмущенного резонатора. Подставив (9) в (7), окончательно получим

$$\frac{R_0}{Q_0} = \sqrt{\frac{\mu}{\epsilon}} \frac{\left(\ln \frac{R_2}{r_2}\right)^2 R_2}{\pi k f_0 l} \left(\frac{df}{d\rho}\right)_{\rho=R_2}. \quad (10)$$

Итак, измерение отношения $\frac{R_0}{Q_0}$ сводится к снятию зависимости резонансной частоты от величины внутреннего радиуса ρ возмущающего кольца, который изменяется от $R_2 - \Delta\rho$ до $R_2 + \Delta\rho$, и к определению тангенса угла наклона касательной в точке $\rho = R_2$. Результаты измерений $\frac{R_0}{Q_0}$ приведены в табл. 2, где даны и расчетные значения отношения $\frac{R_0}{Q_0}$.

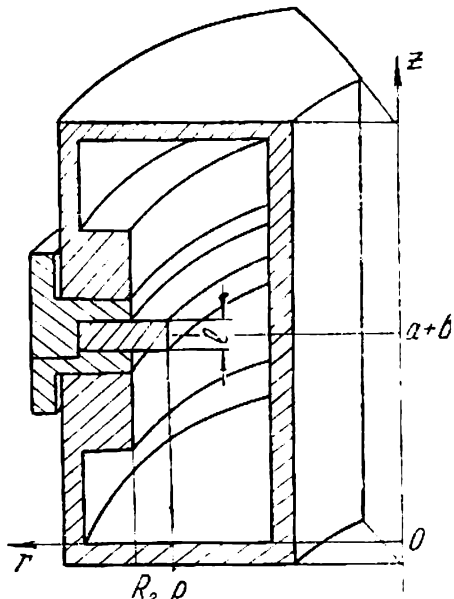


Рис. 4.

Таблица 2

№ резонатора	f_0 , мгц		Q_0		$\frac{R_0}{Q_0}$, ом		Δf , мгц	β
	Расчет	Эксперимент	Расчет	Эксперимент	Расчет	Эксперимент		
1	3220	3214	2020	935	17.8	18.6	11.9	2.46
2	2635	2633	1750	1210	14.5	16.4	3.7	0.70
3	5115	5052	2820	2030	29.5	31.7	6.0	1.41

Как видно из таблицы, расхождение между расчетными и экспериментальными значениями $\frac{R_0}{Q_0}$ не превышает 14% при относительной погрешности измерения $\frac{R_0}{Q_0} \pm 25\%$. Это говорит о пригодности формулы (7) для практических расчетов.

ЛИТЕРАТУРА

1. А. Я. Яшкин. Расчет собственной частоты резонаторов сложной формы в цилиндрических функциях. «Радиотехника», 1961, т. 16, 5, 35.
2. А. Я. Яшкин. Равномерный изгиб P -, T -волноводов в плоскости E . «Радиотехника и электроника», 1961, т. 7, 1, 67.
3. А. И. Терещенко, В. И. Милько. Кольцевой резонатор для радиального кластрона. ЖТФ, 1959, т. 29, 11, 1415.
4. А. Ф. Зоркин. Дисперсионные уравнения для равномерно-изогнутых волноводов сложной формы поперечного сечения с выступами на цилиндрических стенках. «Тр. радиофиз. ф-та Харьковск. ун-та», 1962, т. 5, 56.
5. А. И. Терещенко, А. Ф. Зоркин. Кольцевые резонаторы на волноводах сложной формы поперечного сечения. «Радиотехника и электроника», 1964, т. 9, 7, 1206.
6. Э. Л. Гинзтон. Измерения на сантиметровых волнах, М., Изд-во иностр. лит., 1960.
7. И. В. Лебедев. Техника и приборы сверхвысоких частот, М. — Л., Госэнергоиздат, 1961.
8. Я. Д. Ширман. Радиоволноводы и объемные резонаторы, М., Связьиздат, 1959.